



UNIVERSIDAD DE CHILE
FACULTAD DE CIENCIAS VETERINARIAS Y PECUARIAS
ESCUELA DE CIENCIAS VETERINARIAS

DETECCIÓN MOLECULAR DEL GEN DE LA POLIMERASA
GRANDE (L) DEL VIRUS DISTEMPER CANINO

DIEGO ANÍBAL PINCHEIRA DONOSO

Memoria para optar al Título Profesional
de Médico Veterinario
Departamento de Medicina Preventiva
Animal

PROFESOR GUÍA: CARLOS NAVARRO VENEGAS

SANTIAGO, CHILE
2015



UNIVERSIDAD DE CHILE
FACULTAD DE CIENCIAS VETERINARIAS Y PECUARIAS
ESCUELA DE CIENCIAS VETERINARIAS

DETECCIÓN MOLECULAR DEL GEN DE LA POLIMERASA
GRANDE (L) DEL VIRUS DISTEMPER CANINO

DIEGO ANÍBAL PINCHEIRA DONOSO

Memoria para optar al Título Profesional
de Médico Veterinario
Departamento de Medicina Preventiva
Animal

NOTA FINAL:

	NOTA	FIRMA
PROFESOR GUÍA : CARLOS NAVARRO
PROFESOR CONSEJERO: JOSÉ PIZARRO
PROFESOR CONSEJERO: VÍCTOR NEIRA

AGRADECIMIENTOS Y DEDICATORIA

Dedico esta memoria principalmente a mi adorada y admirada madre Valeria Donoso, quien ha consagrado su vida para sacar adelante a sus hijos y que con su eterna sabiduría, carácter inquebrantable y esfuerzos hizo posible la obtención de este título. A mis hermanos David, Daniel, Gaspar, Sebastián y Francisca por ser pilares esenciales durante mi vida, todos maravillosos, todos increíbles. A mis primos hermanos (más hermanos que primos) Sebi y Nico por su constante compañía en distintas instancias. A mis amigos de la vida Carlos, Gonzalo, Francisco y Vivi con quienes por años he podido contar en las buenas y en las malas. A mis amigos Ale, Nacho, Juaco, Jorge y Lalo por hacer cada día de la carrera una etapa excelente. A mis instructores Raúl, Alejandro y Carlos y mi compañero de tantas prácticas Marcel por colaborar todos ellos en mi formación como artista marcial lo que conllevó a la disciplina con la que enfrenté los estudios e incluso la vida misma. A Carlos Navarro mi profesor guía, gran responsable de la realización de esta memoria, desde la idea, desarrollo y finalización de la misma. Finalmente, a quien llegó en esta última etapa a mi vida, mi compañera incondicional y amada Sara, quien hace de cada momento un momento inolvidable con su risa, ternura y amor permanente.

MEMORIA DE TÍTULO

“DETECCIÓN MOLECULAR DEL GEN DE LA POLIMERASA GRANDE (L) DEL VIRUS DISTEMPER CANINO”

“MOLECULAR DETECTION OF THE LARGE (L) POLYMERASE GENE OF THE CANINE DISTEMPER VIRUS”

Diego Aníbal Pincheira Donoso*

*Departamento de Medicina Preventiva Animal, Facultad de Ciencias Veterinarias y Pecuarias, Universidad de Chile, Santiago, Chile.

Financiamiento: Proyecto FIV 121014019102010. FAVET. Universidad de Chile

RESUMEN

El Virus Distemper Canino (VDC) es un agente infeccioso de amplia distribución, responsable de la enfermedad denominada Distemper Canino (DC) que afecta a una amplia diversidad de carnívoros terrestres (reportándose incluso en primates) y marinos. Afecta agresivamente a perros domésticos (con una tasa de mortalidad aproximada del 50%). Por tanto, el impacto clínico del VDC es importante. El VDC es codificado por 6 genes, N, P/V/C, M, F, H y L. Casi todos ellos se han usado para identificación de linajes y diagnóstico de la enfermedad. En este trabajo y utilizando Reacción en Cadena de la Polimerasa asociada a Retrotranscripción (RT-PCR) se analizaron 22 fragmentos de Ácido Ribonucleico (RNA) obtenidos de sangre periférica de 22 perros diagnosticados con VDC clínicamente y positivos a VDC mediante RT-PCR (gen N) con el objetivo de lograr implementar la detección del gen de la proteína grande (L) como alternativa diagnóstica. En este sentido, se diseñó un par de partidores que generaron un fragmento de ácido desoxirribonucleico (DNA) de alrededor de 450 pares de bases (pb), el cual mediante análisis bioinformático confirmó su identidad ($PIN > 94\%$). Así, esta implementación abre la discusión sobre el mejor método alternativo, en conocimiento de que la detección del gen P mediante RT-PCR anidado lo es actualmente. Un análisis de sensibilidad pondría dilucidar esta incógnita prontamente. Se concluye por tanto que esta técnica molecular ofrece un efectivo método diagnóstico para la presencia de VDC en perros domésticos.

Palabras clave: Gen L, virus distemper canino, diseño de partidores, reacción en cadena de la polimerasa

ABSTRACT

The Canine Distemper Virus (CDV) is a widespread responsible for the Canine Distemper Disease that affects a broad diversity of carnivore mammals (and some cases in primates have been reported) globally. Domestic dogs are extensively and aggressively (with a ~50% mortality rate) infected by the CDV. Therefore, the clinical impact of the CDV is remarkable. The CDV is encoded by six genes, N, P/V/C, M, F, H and L. Almost all of which have been previously studied for lineage identification and disease diagnosis. In this study we used Reverse Polymerase Chain Reaction tests (RT-PCR) to analyse obtain 22 fragments of Ribonucleic acid (RNA) from peripheral blood of 22 subject dogs clinically diagnosed with CDV and positive to

CDV by RT-PCR (N gene). The aim of this study was to implement a protocol of detection of the Large Protein Gene (L) to be employed as an alternative diagnostic. To achieve this, a pair of primers that generated a fragment of deoxyribonucleic acid (DNA) of ~450 base pairs (bp) was designed, which, using a bioinformatic analysis, confirmed its identity (PIN > 94%). Therefore, the implementation of this protocol opens the discussion about the best alternative method, within the context that the detection of the P gene through Nested RT-PCR is currently the best available protocol. A sensitivity analysis may potentially elucidate this question. Consequently, the main conclusion is that the molecular technique implemented in this study offers an effective diagnostic method to optimize the detection of VDC in domestic dogs.

Keywords: L gene, canine distemper virus, primer design, polymerase chain reaction

INTRODUCCIÓN

El Virus Distemper Canino afecta a una amplia variedad de especies, la mayoría de familias de carnívoros terrestres como *Canidae*, *Mustelidae* y *Procyonidae*, (Appel y Summers, 1999), *Ailuridae*, *Hyaenidae*, *Ursidae*, *Viverridae* (Appel y Summers, 1995), grandes felinos (Appel *et al*, 1994), carnívoros marinos como la foca del caspio (*Phoca caspica*) reportado por Kennedy *et al* el año 2000 e incluso se ha documentado su presencia en primates no humanos (Sakai *et al*, 2013).

El genoma del VDC presenta 6 genes cuya función es codificar las seis proteínas estructurales del virión. Dichos genes son N, P/V/C, M, F, H, L, encargándose cada uno de ellos de codificar una única proteína, con la excepción de P/V/C que codifica la fosfoproteína estructural P y las no estructurales V y C (Lamb y Parks, 2007).

El gen H es el que presenta mayor variabilidad genética y por tanto se usa en distintos estudios de caracterización de cepas y linajes del virus (Martella *et al*, 2006), existiendo estudios de su detección mediante Reacción en Cadena de la Polimerasa asociada a retrotranscripción (RT-PCR) como hace Jara el año 2011. Además ha sido usado con éxito para la determinación de nuevos genotipos virales en perros en Japón (Mochizuki *et al*, 1999) así como para la identificación de al menos dos genotipos del virus presentes en Chile (Salas, 2013). Para el diagnóstico de la enfermedad se suele utilizar RT-PCR sobre el gen N (Alcalde *et al*, 2013, Muñoz, 2013).

El principal objetivo de este estudio es lograr la detección del gen de la proteína grande (L) del virus distemper canino mediante el uso de RT-PCR, a través del diseño de los partidores necesarios para la reacción, la amplificación de un fragmento de DNA de 450 pb y finalmente el establecimiento de la identidad nucleotídica del fragmento obtenido.

MATERIAL Y MÉTODOS

El presente trabajo se llevó a cabo en los laboratorios de Virología y Microbiología del Departamento de Medicina Preventiva Animal de la Facultad de Ciencias Veterinarias y Pecuarias de la Universidad de Chile.

Muestras: Como controles positivos para la reacción del RT-PCR se utilizaron 2 cepas de VDC provenientes de vacunas comerciales (Lederle y Ondersteopoort). Para el análisis se usaron 22 muestras de RNA viral obtenidos de sangre periférica de perros de distintas razas, edades y estado de vacunación contra VDC, con signos clínicos de DC y positivos al RT-PCR sobre el gen N (Cuadro 1). Como control negativo se usaron dos muestras de RNA extraído de perros sin signología a DC y negativos a RT-PCR sobre el gen N. Como control de reactivos se ocupó agua libre de nucleasas.

Diseño de los partidores: Los partidores para la reacción se obtuvieron mediante el uso del programa *online* de acceso libre OligoPerfect™ Designer de *Life Technologies*™. Para esto, se ingresó en el programa la secuencia nucleotídica de la región que comprende desde el nucleótido 9030 hasta el 15584 correspondiente al gen de la proteína grande L disponible en el GenBank® (anexo 1), con la finalidad de obtener un fragmento de DNA de aproximadamente 450 pb. Una vez diseñados los partidores se mandaron a sintetizar a Bioscan®.

RT-PCR: Para la implementación de esta técnica se empleó un termociclador Apollo (CLP, USA) de 96 pocillos de 0,2 mL y un protocolo que contempló denaturación a 94 °C durante un minuto, alineación a 55 °C durante un minuto, elongación a 72 °C durante un minuto y elongación final a 72 °C durante siete minutos.

Mezcla de la reacción: Se utilizaron 15 µL del kit comercial “SuperScript one step RT-PCR with platinum taq” (*Taq* ADN polimerasa, MgCl₂ y los desoxirubonucleótidos trifostatos), 5 µL del DNA molde y 5 µL de cada partidor específico (denominados P1 y P2 respectivamente), llegando a un volumen final de 30 µL (detalles en cuadro 2)

Amplificación del DNA: La técnica PCR contempla una etapa de denaturación del DNA, seguido de una etapa de alineamiento de los partidores y una etapa final de elongación para terminar un ciclo. A través de un termociclador de gradiente de temperatura (Px2 Thermal Cycler), se determinaron las temperaturas óptimas de alineamiento para el par de partidores,

siendo dicha temperatura 55° C. Transcurridos 35 ciclos se procedió a visualizar el producto amplificado.

Detección de productos amplificados: La detección del producto amplificado se realizó mediante electroforesis en gel de agarosa (Winkler®) al 2% en buffer Tris acetato EDTA (TAE) (Fermentas®) y posterior tinción con bromuro de etidio (0,5 µg/ml) (Fermelo®). Se tomaron 5 µL del producto de PCR, y se mezclaron con 1 µL de un producto comercial de carga, 6X Mass Ruler Loading Dye Solution (Fermentas®), el cual posee glicerol para proporcionar densidad a la muestra y azul de bromofenol para verificar el progreso de la migración de las bandas de DNA. La electroforesis se llevó a cabo a 90V por 90 minutos. Como marcador de tamaño molecular se utilizó *Hyperladder I* (Bioline®), el cual contiene fragmentos de DNA entre 50 y 1000 pares de bases. Con este producto se comparó el tamaño de los fragmentos amplificados. Al finalizar la electroforesis, las bandas se visualizaron en un transiluminador de luz ultravioleta (UV) (Transiluminator UVP®), y se fotografió con cámara digital y filtro adecuado.

Determinación de la identidad nucleotídica del fragmento amplificado:

a) Secuenciación. Se secuenciaron 3 muestras positivas al RT-PCR, las que fueron purificadas a través del kit “HiYield Gel/PCR DNA Fragments Extraction Kit” (RBC Bioscience®) y enviadas en triplicado al Centro de Secuenciación de la empresa Genytec Ltda.

b) Porcentaje de identidad nucleotídica (PIN). Las secuencias entregadas por Genytec Ltda. se alinearon para obtener una secuencia consenso para cada muestra, a través del programa *online* Clustal W. Las secuencias consenso fueron ingresadas al programa informático de alineamiento de secuencias BLAST, a modo de conocer su identidad nucleotídica respecto a los primeros 15 resultados entregados por Clustal W.

Análisis de resultados: Se consideró como muestra positiva toda aquella que originó un fragmento de DNA de aproximadamente 450 pb y PIN mayor a 90%.

Medidas de bioseguridad: Como medidas de bioseguridad se emplearon delantal manga larga y cerrado, guantes de látex para la manipulación de productos potencialmente nocivos o tóxicos. Al utilizar el transiluminador de luz ultravioleta se utilizó una placa de acrílico como filtro protector y los geles utilizados fueron envueltos en los guantes de látex, depositados en un contenedor especialmente destinado y posteriormente fueron incinerados, en tanto, el material contaminado con virus se esterilizó mediante autoclave.

RESULTADOS

Diseño de los partidores requeridos para la reacción

Los partidores diseñados mediante el programa OligoPerfectTM Designer de *Life Technologies*TM fueron denominados PGL1 F: 5'- ACTCACAACTGTCGCAAACG-3' y PGL1 R: 5'- TTGGGTTAAGGTTGGAACG-3' (Anexo 3).

Amplificación del fragmento de DNA de 450 pb

La visualización del gel de agarosa al 2% en el transiluminador de luz UV permitió determinar la presencia de bandas fluorescentes únicas y nítidas de alrededor a las 450 pb. en los controles positivos y en el total de muestras positivas mediante RT-PCR al gen N de VDC. No se observó presencia de bandas fluorescentes en los controles negativos ni en el control de reactivos.

En la figura 1 es posible observar los fragmentos de DNA sintetizados en la reacción de RT-PCR de las distintas muestras y controles.

Determinación del Porcentaje de Identidad Nucleotídica (PIN)

a) Secuenciación: De las 22 muestras provenientes de perros positivos a CDV que generaron una banda fluorescente de tamaño molecular de alrededor de 450 pb, se enviaron a secuenciar en triplicado las provenientes de los individuos A, F y H (ver Cuadro 1). Las secuencias recibidas desde Genytec Ltda. se muestran en el Anexo 2. Mediante el programa *on line* Clustal W se obtuvo para cada trío de secuencias una secuencia consenso (Cuadro 3). Adicionalmente, al alinear las secuencias consenso entre sí, se determinó las identidades intersecuencias (Cuadro 4).

b) Porcentaje de identidad nucleotídica (PIN):

El ingreso individual de las secuencias consenso ingresadas al programa *on line* BLAST permitió determinar la identidad nucleotídica de cada una, respecto a los primeros 15 resultados entregados por Clustal W. Adicionalmente a modo de ejemplo se alineó cada secuencia con una de las cepas entregadas por Blast escogidas de manera aleatoria (Anexos 4, 5, 6; Cuadro 5), indicando sólo identidad nucleotídica respecto de datos de cepas de VDC.

DISCUSIÓN

El Distemper Canino es una enfermedad contagiosa y en muchos casos fatal que afecta a variadas familias de mamíferos, principalmente carnívoros (Appel y Summers, 1999), siendo producida por el Virus Distemper Canino. Para su identificación existen distintas técnicas diagnósticas, dentro de las que se incluye la Reacción en Cadena de la Polimerasa asociada a retrotranscripción (RT-PCR). Para ello se ha usado como blanco la mayoría de sus genes, sin embargo, dado el impacto tanto en animales domésticos como silvestres que produce la infección del VDC es que resulta necesario el establecimiento de una cada vez mejor técnica diagnóstica, lo que implica el estudio de todos sus genes como blanco para determinar cuál de ellos resulta en un mejor RT-PCR. Estudios recientes mantienen como gen de elección el gen N, tal como hacen Jiang *et al* el 2013 para la secuenciación nucleotídica completa de una cepa viral de VDC en China o Silva *et al* 2014 en su estudio sobre detección molecular de VDC y otros virus, o el uso del gen H, tanto para la determinación de 8 linajes del VDC (Sarute *et al*, 2013) así como para la identificación del linaje “Ártico” en un brote de DC en Italia (Di Sabatino *et al*, 2014), entre otros.

A la fecha no existen trabajos que usen como blanco el gen de la proteína grande L y por ello resulta atractiva dicha investigación.

El presente estudio determinó que para las condiciones establecidas, resulta efectivo el RT-PCR sobre el gen L como método diagnóstico para la detección de VDC.

De las 22 muestras de RNA analizadas, las 22 resultaron positivas a VDC, lo que corresponde a un 100%. En contraste con otros estudios de RT-PCR para VDC realizados en la misma Facultad de Ciencias Veterinarias y Pecuarias, que usando como blanco el gen H arrojaron valores positivos de 7% (Salas, 2013) y 83% (Jara, 2011), y sobre el gen N un 91% (Muñoz, 2013). Estos resultados pudieran sugerir una mayor sensibilidad del RT-PCR sobre el gen L en comparación con otros genes.

En cuanto a los controles positivos y negativos, al visualizar el gel de agarosa al 2% en el transiluminador de luz UV, ambos controles positivos mostraron bandas fluorescentes nítidas de 450 pb mientras que ambos controles negativos, no arrojaron bandas para ningún tamaño molecular. Estos resultados podrían aventurar en primera instancia una alta especificidad del método instaurado.

A la luz de los resultados pudiera asumirse una alta sensibilidad y especificidad del RT-PCR sobre el gen L, sin embargo para confirmar tal afirmación se requieren estudios posteriores

orientados a pruebas diagnósticas que determinen parámetros de validez como son sensibilidad y especificidad, parámetros que no fueron evaluados en este estudio, así como tampoco fueron evaluados parámetros de eficacia.

Cabe destacar que de las 22 muestras analizadas y que finalmente resultaron positivas, 12 de ellas provenían de perros vacunados contra VDC, lo que corrobora estudios que señalan que la vacunación no genera una inmunidad completamente efectiva (Appel y Summers, 1999; Gemma *et al*, 1996), lo que sugiere la existencia de diferencias antigenicas importantes entre aislados de VDC de distintas áreas geográficas con las cepas vacunales, que pudieran ser responsables del resurgimiento de la enfermedad (Harder y Osterhaus, 1997).

Aunque el presente estudio sugiere que la RT-PCR del gen L es una buena prueba diagnóstica para el VDC, no determina parámetros de validez (especificidad y sensibilidad) ni de eficacia (valor predictivo positivo y valor predictivo negativo), los que debieran ser evaluados en estudios posteriores.

El haber confirmado la efectividad del RT-PCR sobre el gen L, aporta de gran manera a ampliar el conocimiento sobre el diagnóstico molecular sobre el VDC.

Los resultados de este trabajo, más los resultados previos obtenidos usando otros genes del VDC, llevan a la necesidad de realizar a futuro estudios comparativos entre las reacciones de RT-PCR, que usen como blanco los 6 genes del VDC. Estableciendo para cada uno de ellos parámetros de validez y eficacia que permitan de esta manera, determinar cuál de ellos constituye una mejor prueba diagnóstica para el VDC.

BIBLIOGRAFÍA

- ALCALDE, R.; KOGIKA, M.; FORTUNATO, V.; COELHO, B.; LOPES, L.; PAIVA, P.; DURIGON, E.** 2013. Canine distemper virus: detection of viral RNA by Nested RT-PCR in dogs with clinical diagnosis. *Braz. J. Vet. Res. Anim. Sci.* 50: 74-76.
- APPEL, M.; YATES, R.; FOLEY, G.; BERNSTEIN, J.; SANTINELLI, S.; SPELMAN, L.; MILLER, L.; ARP, L.; ANDERSON, M.; BARR, M.; PEARCE-KELLING, S.; SUMMERS, B.** 1994. Canine distemper epizootic in lions, tigers, and leopards in North America. *J. Vet. Diagn. Invest.* 6: 277-288.
- APPEL, M.; SUMMERS, B.** 1995. Pathogenicity of morbilliviruses for terrestrial carnivores. *Vet. Microbiol.* 44: 187-191.
- APPEL, M.; SUMMERS, B.** 1999. Distemper canino: Estado actual. [en línea] International Veterinary Information Service<http://www.ivis.org/advances/infect_dis_carmichael/appel_es/ivis.pdf> [consulta: 27-01-2013].
- DI SABATINO, D.; LORUSSO, A.; DI FRANCESCO, C.; GENTILE, L.; DI PIRRO, V.; BELLACICCO, A.; GIOVANINNI, A.; DI FRANCESCO, G.; MARRUCHELLA, G.; MARSILIO, F.; SAVINI, G.** 2014. Arctic Lineage-Canine Distemper Virus as a Cause of Death in Apennine Wolves (*Canis lupus*) in Italy. *Plos One.* 9(1): e82356.
- GEMMA, T.; WATARI, T.; AKIYAMA, K.; MIYASHITA, N.; SHIN, YS.; IWATSUKI, K.; KAI, C.; MIKAMI, T.** 1996. Epidemiological observations on recent outbreaks of canine distemper in Tokyo área. *J. Vet. Med. Sci.* 58: 547-550.
- HARDER, T.; OSTERHAUS, A.** 1997. Canine distemper virus a morbillivirus in search of new host. *Trends. Microbiol.* 5: 120-124.
- JARA, P.** 2011. Detección del gen de la hemoaglutinina del virus Distemper canino mediante la reacción en cadena de la polimerasa asociada a transcripción inversa. Memoria de título (Médico Veterinario). Santiago, Chile. Universidad de Chile, Facultad de Ciencias Veterinarias y Pecuarias. 16 h.
- JIANG, Q.; HU, X.; GE, Y.; LIN, H.; JIANG, Y.; LIU, J.; GUO, D.; SI, C.; QU, L.** 2013. Complete Nucleotide Sequence of Canine Distemper Virus HLJ1-06, Isolated from Foxes in China. *Genome A.* 1(1): e00065-12.
- KENNEDY, S.; KUIKEN, T.; JEPSON, P.; DEAVILLE, R.; FORSYTH, M.; BARRETT, T.; VAN DE BILDT, M.; OSTERHAUS, A.; EYBATOV, T.; DUCK, C.; KYDYRMANOV, A.; MITROFANOV, I.; WILSON, S.** 2000. Mass Die-Off of Caspian Seals Caused by Canine Distemper Virus. *Emerg. Infect. Dis.* 6(6): 637-639.

LAMB, R.; PARKS, G. 2007. Paramyxoviridae: The Viruses and Their Replication en Fields Virology, Williams y Wilkins, 5° edición. [en línea] <http://books.google.cl/books?id=5O0somr0w18Cypg=PA1449ylpg=PA1449ydq=paramyxoviridae+the+virus+and+their+replicationy়source=blyots=FqpCleV48yy sig=Sm5ovxCG7N6IDkAhNem3c_4Aa0yhl=es-419ysa=Xyei=4-U4UaDtKpTi8gT_6oGYCgyved=0CDEQ6AEwAA#v=onepageyq=paramyxoviridae%20the%20virus%20and%20their%20replicationyf=false> [consulta: 14-01-2013]

MARTELLA, V.; CIRONE, F.; ELIA, G.; LORUSSO, E.; DECARO, N.; CAMPOLO, M.; DESARIO, C.; LUCENTE, M.; BELLACICCO, A.; BLIXENKRONE-MOLLER, M.; CARMICHAEL, L.; BUONAVOGGLIA. 2006. Heterogeneity within the hemagglutinin genes of canine distemper virus (CDV) strains detected in Italy. *Vet. Microbiol.* 116 (4): 301-309.

MOCHIZUKI, M.; HASHIMOTO, M.; HAGIWARA, S.; YOSHIDA, Y.; ISHIGURO, S. 1999. Genotypes of Canine Distemper Virus Determined by Analysis of the Hemagglutinin Genes of Recent Isolates from Dogs in Japan. *J. Clin. Microbiol.* 37(9): 2936.

MUÑOZ, C. 2013. Diagnóstico molecular del Virus Distemper Canino mediante la Reacción en Cadena de la Polimerasa asociada a Transcripción inversa del Gen de la Proteína de la Nucleocápside viral. Memoria de título (Médico Veterinario). Santiago, Chile. Universidad de Chile, Facultad de Ciencias Veterinarias y Pecuarias. 32 p.

SAKAI, K.; NAGATA, N.; AMI, Y.; SEKI, F.; SUZAKI, I.; IWATA-YOSHIKAWA, N.; SUZUKI, T.; FUKUSHI, S.; MIZUTANI, T.; YOSHIKAWA, T.; OTSUKI, N.; KURANE, I.; KOMASE, K.; YAMAGUCHI, R.; HASEGAWA, S.; SAIJO, M.; TAKEDA, M.; MORIKAWA, S. 2013. Lethal Canine Distemper Virus Outbreak in Cynomolgus Monkeys in Japan. *J. Virol.* 87(2): 1105-1114.

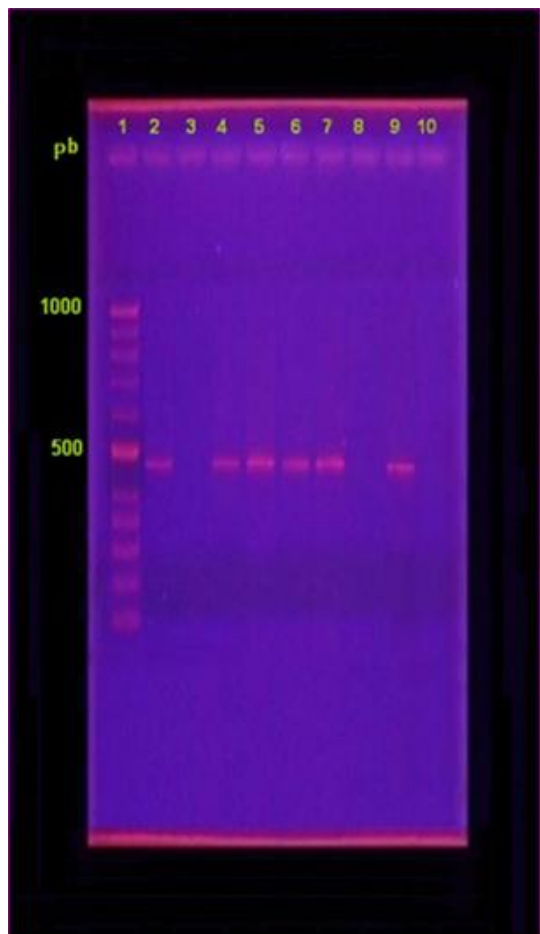
SALAS, V. 2013. Análisis filogenético del gen de la Hemaglutinina del Virus Distemper Canino en perros naturalmente infectados en Chile. Memoria de título (Médico Veterinario). Santiago, Chile. Universidad de Chile, Facultad de Ciencias Veterinarias y Pecuarias. 23 h.

SARUTE, N.; GALLO, M.; PÉREZ, R.; LA TORRE, J.; HERNÁNDEZ, M.; FRANCIA, L.; PANZERA, Y. 2013. The Fusion Protein Signal-Peptide-Coding Region of Canine Distemper Virus: A Useful Tool for Phylogenetic Reconstruction and Lineage Identification. *Plos One.* 8(5): e63595.

SILVA, A.; BODNAR, L.; ARLINGTON, S.; FERNANDES, A.; ALCINDO, A. 2014. Molecular detection of canine distemper virus (CDV), canine adenovirus A types 1 and 2 (CAdV-1 and CAdV-2), and canine parvovirus type 2 (CPV-2) in the urine of naturally infected dogs. *Semina: Ciencias Agrarias.* 35(6): 3231.

FIGURAS

Figura 1: RT-PCR del gen L de VDC de muestras positivas y negativas del virus. Carril 1: MTM (marcador de tamaño molecular de 100 a 1000 pb). Carril 2: VDC (cepa Lederle). Carril 3: muestra negativa. Carril 4: muestra 1. Carril 5: muestra A. Carril 6: muestra H. Carril 7: muestra F. Carril 8: muestra negativa. Carril 9: VDC (cepa Onderstepoort). Carril 10: control de reactivos.



CUADROS

Cuadro 1: Muestras de RNA positivas a VDC provenientes de perros de distintas razas, sexo, edad y estado de vacunación contra VDC (S/I: sin información)

CANINO	RAZA	SEXO	EDAD (años)	VACUNA
1	Poodle	Macho	6	S/I
2	Poodle	Macho	6	S/I
3	Mestizo	Hembra	2	SÍ
4	Mestizo	Macho	1	NO
5	Bulterrier	Hembra	2	SÍ
6	Mestizo	Hembra	1	SÍ
7	Mestizo	Hembra	3	NO
8	Mestizo	Macho	3,5	NO
9	Bóxer	Macho	2	S/I
10	Mestizo	Hembra	0,75	NO
11	Mestizo	Hembra	1,5	NO
12	Mestizo	Macho	1	SÍ
A	Mestizo	Macho	1,5	SÍ
B	Mestizo	Macho	2	NO
C	Mestizo	Macho	1,5	SÍ
D	Bóxer	Macho	3	SÍ
E	Labrador	Macho	1	SÍ
F	Bóxer	Macho	2	NO
G	Mestizo	Macho	2,5	SÍ
H	Mestizo	Hembra	1	SÍ
I	Labrador	Macho	1,5	SÍ
J	Mestizo	Macho	3	SÍ

Cuadro 2: Mezcla de reacción según fabricante para uso de “*SuperScript one step RT-PCR with platinum taq*”

Componentes	Volumen 50/ul	Concentración final
2x reaction mix	25	1x
Templado	5	
P1 (1 uM)	5	0,2 uM
P2 (1 uM)	5	0,2 uM
RT/Platinum	1	
Agua libre de nucleasas	9	

Cuadro 3: Secuencias de consenso obtenidas a partir de alineación mediante programa Clustal W

CANINO	SECUENCIA CONSENSO
A	CATCAACAAGAGGTCCGAAAACCAGGGAGGAGACAAATACCCATTCACTTCAGGAACGAAAGGCTTC CAGGGTATAACCCAGATGTCAACAGTTCTGAATGGAGTGAGTCACTATATGACACCCAAATTATCCA GATGATGGAAATGACGATGATCGGAAATCGATGGAAGAAATGCCAAGATGAGGATGCTTAAGAT GCTCAGTCAACCTGGGACAGTGAAGATAATTCTCTGTTTATAGTGATAAAGAGCTACTCAATTAAA TATTCAAGAACAGTCTGCATCAGTCAACAAATTATCATTCTAAACTCATTATAAAAACCTAGGACCC AGGTCCAACAAACCGATCAATCATTATCCGACCACCCGTTCTATCCCTAAATGGCAGAGGAACAGG CATACCATGTCAGCAAAGGGCTGGAATGCCTCAAAGCCCTCAG
F	AACCATCAACAAGAGGTCCGAAAACCAGGGAGGAGACAAATACCCATTCACTTCAGAGACGAAAGGC TTCCAGGGTATAACCCAGATGTCAACAGTTCTGAATGGAGTGAGTCACACTATGACACCCAAATTATC CAAGATGATGGAAATGACGATGATCGGAAATCGATGGAACAAATGCCAAGATGAGGATGCTTAACTAA GATGCTCAGTCAACCTGGGACAGTGAAGAAAATTCTCTGTTTATAGTGATAAAGAGCTACTCAATT AAATATTCAAGAACCGACTTGAATCAGTCAACAATTATCATTCTAAACTCATTATAAAAACCTAGGA CCCAGGTCCAACAAACCGATCAATCATTATCCGACCACCCGTTCTATCCCTAAATGGCAGAGGAAC AGGAGTACCATGTCAGCAAAGGGCTGGAATGCCTCAAAGCCCTCAG
H	CCATCAACAAGAGGTCCGAAAACCAGGGAGGAGACAAATACCCATTCACTTCAGAGACGAAAGGCTT CCAGGGTATAACCCAGATGTCAACAGTTCTGAATGGAGTGAGTCACACAATGACACCCAAATTATCCA AGATGATGGAAATGACGATGATCGGAAATCGATGGAACAAATGCCAAGATGAGGATGCTTAACTAATA TTCTCAGTCAACCTGGGACAGTGAAGAAAATTCTCTGTTTATAGTGATAAAGAGCTACTCAATTAA ATATTCAAGAACCGACTTGAACAGTCAACAATTATCATTCTAAACTCATTATAAAAACCTAGGACC CAGGTCCAACAAACCGATCAATCATTATCCGACCACCCGTTCTATCCCTAAATGGCAGAGGAACAG GACAACCATGTCAGCAAAGGGCTGGAATGCCTCAAAGCCCTCAG

Cuadro 4: Identidades nucleotídicas intersecuencias para los caninos A, H y F, según Clustal W

Seq	Name	Lentgh	Seq	Name	Length	Score
1	Canino A	451	2	Canino F	453	97,56
1	Canino A	451	3	Canino H	452	97,12
2	Canino F	453	3	Canino H	452	98,45

Cuadro 5: Porcentaje de Identidad Nucleotídica (PIN) respecto de cepas de VDC según Blast

CANINO	PORCENTAJE DE IDENTIDAD NUCLEOTÍDICA (PIN)
A	94,8
F	94,4
H	93,8

Anexo 1: Secuencia nucleotídica del gen L de Virus Distemper Canino. NC_001921.1
9030 - 15584

TGGACTCTGT ATCAGTGAAC CAGATTCTAT
9061 ACCCTGAGGT CCATCTAGAT AGCCCAATTG TAACCAATAA GCTAGTATCT ATTTTAGAAT
9121 ACGCACGAAT TAGACATAAC TATCAGCTCC TTGATACAAC ATTAGTGCCT AATATCAAAG
9181 AGAGAAATTTC AGAAGGGTTC TCAAACCAGA TGATCATTAA CTGCATCGAA ATTGGGAGCA
9241 TTATTAATCA GACCTGTTA TCTTATCCA AACACAACCA TGTGATATAC CCAAATTGCA
9301 ACAAACTTCT ATTTCATGCA CAGGATCGAG TCATCTCTCT GAGGCTGAGA AATATATTCA
9361 AAAGAGGAAA TAGCATCTAT AGCAAAATAA CAGACGGGGT CAAAAAAATGC TTAAACGATA
9421 TTAATCTTAA TATTGGTTA GGGGGTGCAC TGGACAAGAC TATTGGGACC AAAATTGATG
9481 AAGCAGGCAT AATTATGCAA AGCTCACAGT GGTCGAACC TTTCCTTCTA TGGTTTACAA
9541 TTAAAACAGA AATGAGATCA GTGATTAAAT CCTCTACTCA CAACTGTGCG AAGCGGAGGC
9601 AGAACCCCTGT CTTTGAAAAA GGTGAATCAT TGAATGTGTT AGTCTCTAGG GACCTTGAT
9661 GTATTATTGA CCTCACCAGT CACATTGTTT ATTACCTAAC ATTGAAATG GTCTGTGAT
9721 ACTGTGATGT AATAGAAGGG AGGCTAATGA CTGATACTGC TATGGCAATT GATCAACGTT
9781 ACTCAACTTT GCATGTCAGG ATCAGGTATC TCTGGGATCT AATTGACGGA TTCTTCCC
9841 ATCTGGGAAA TTCAACCTAT CAATTGGTGG CTCTACTGGA GCCTCTCTCA TTGGCTTACT
9901 TGCAATTAAA AGACATCACC TTCTCTCTCA GGGGTGCTT TCTGAGTCAC TGCTTGCTG
9961 AAATTCAAGGA GATTTCACAG GACAATGGCT TCTATACTGA AGAGACGTT CAAACTTTAA
10021 CCCAAGCTCT AGACTTCGTT TTCATCACAG AGGATATACA TATAACAGGA GAAATCTTT
10081 CCTTCTTTAG AAGTTTCGGT CACCCAAGGT TAGAAGCAAT AACAGCAGCA GAGAACGTC
10141 GGAAACACAT GAATCAACCC AAAGTTGTCT CCTATGAGAC TATGATGAAG GGACACGCTA
10201 TATTCTGTGG GATAATCATT AACGGTTATC GGGATAGACA TGGGGGGACT TGGCCTCC
10261 TGGATCTTCC TGTTCATGCA TCTCCTATCA TCAGAAATGC TCATGCCCTA GGGGAGGGAA
10321 TCACCTATAG TCAATGTATA GAAAATTGGA AATCCTTCGC AGGAATTGCA TTTAAATGCT
10381 TTATGCCTCT TAGCCTAGAC AGTGATTGCA CCATGTACCT GAAAGATAAG GCTTTGGCAG
10441 CCCTAAGAAA AGAGTGGGAC TCAGTGTAC CAAAAGAATT CCTCAGGTAC AATCCGCC
10501 GCTCCACTGA GTCTCGGAGA CTGTGTTAATG TGTTTCTAGA GGACTCTCAG TTTGACCC
10561 ATAACATGAT TATGTACGTT ATCTCAGGTC AATATCTAGA AGATCCTGAT TTCAACCTAT
10621 CATACAGTCT CAAAGAGAAA GAGATTAAAG AGGTAGGGAG ATTATTGCT AAAATGACCT
10681 ACAAAATGCG AGCCTGTCAG GTCATAGCAG AAAACTGTAT ATCTAATGGA ATTGGGAAGT
10741 ACTTCAAGGA CAATGGGATG GCAAAGGATG AACACGATCT CACTAAATCA TTGCACACTC
10801 TGGCTGTGTC CGGGGGTCCG AAAGACAAGA AAGATTCCA TCCTGGCCTC ACTAACCC
10861 GTAAATCCCT GAAGCCCTGCA CCTTATCGAG GAACCCGTC CTCCGCTCT TCCCCAAGTA
10921 GTAGATATAT AGACCCAAAC CCAAATTGTT GCACAGTAG AAGAGAAGAC AATGACATAG
10981 AGATCTATGA AACTGTAAGT GCATTATATAA CTACAGATCT CAAAAAGTAC TGTCTGAATT
11041 GGCCTTATGA GACCACAGT ATTGTTGCTC AGAGATTAAA TGAAATCTAT GGTCTCCC
11101 CATTTCCTCA ATGGTTGAC AGAAGATTGG AACAGTCGAT CTTATACGTA AGTGACCCCC
11161 ACTGCCCTCC AGATCTCGAT CGTCATGTGG ACTTGAAATAC AGCCCCTAAC TCTCAAATAT
11221 TCATCAAATA CCCAATGGGA GGGGTGGAGG GGTATTGTC GAAGTTATGG ACTATTAGCA
11281 CCATACCTTA TCTGACTTG GGGGCACATG AGAGTGGTGT CAGAATTGCA TCACTTGTC
11341 AAGGTGATAA CCAAACATT GCTGTCACTA AAAGAGTACCA AAGCACCTGG TCCTATGCT
11401 TGAAGAAATC TGAAGCCAGT CGAGTGACCA CAGAATACTT TATAGCCTTG AGACAGAGGT
11461 TACATGATGT CGGACATCAT TTGAAAGCAA ATGAAACAAT AATCTCTTC CACTTTTTG
11521 TATACTCAA AGGAATCTAT TATGATGGAA TGTTAATTTC ACAATCCCTG AAGAGTATAG
11581 CTAGGTGTGT ATTTGGTCA GAAACAATAG TGGATGAGAC CCGAGCCGCG TGAGCAACA
11641 TTTCAACAAAC ATTACCGAAA GCCATTGAGA AAGGGTTGCA CCGATATTAA GCCTACACGC
11701 TGAACATTAA AAAAACATC CAACAAGTAT TAATTTCTT CACTTTTTG AGGATTCACT ATCAATTCA
11761 CGATGACACG GGATGTGATA GAACCCCTCT TACAAGATCA CTGCTCTTG ACCAAGATGG
11821 CAATTCTCCC CGCACCCATT GGCGGTTTTA ATTACCTCAA TATGAGTAGG CTCTTGTC
11881 GGAATATCGG GGATCCCGTG ACATCTCTA TTGCTGACCT CAAACGAATG ATCCGATCAG
11941 GCCTTCTTGG AGTGGAGATT CTACATCAGG TCATGACTCA ATACCCAGGT GACTCTTCTT
12001 ATTTAGATTG GGCAAGTGCAC CCTTATTCTG CCAATCTGCC CTGCTGCCAG AGCATAACCC
12061 GACTCCTTAA AAATATCACA GCTAGGCATG TCCTTATCAA CAGTCCAAAT CCGATGCTGA
12121 GAGGATTGTT CCATGATGAA AGTCAGGATG AGGATGAAGC TTTAGCAGCT TTCTTGATGG
12181 ATAGGAAAAT TATTATCCCA AGGGCTGCAC ATGAAATTCT GGATAACACA ATCACGGGTG
12241 CAAGAGAGGC AATTGCCGGA ATGCTAGACCA CCACAAAGGG GTTGATAAGA GCAAGCATGA
12301 AAAGAGGAGG TCTAACCCCT AGAATAATAA CCCGTTGTC AACTTACGAT TATGAGCAAT

12361 TTAGGGCAGG TATCAGACTG TTCTCAGGG AAGGGCATGA TCAGCTCATC GATCAAGACT
 12421 CATGTTCCGT CCAGTTAGCG AGAGCATTAA GGAACCACAT GTGGGCCAAG CTGGCGAAGG
 12481 GTCGTCCTAT TTATGGTCTA GAAGTCCCAG ATATCCTTGA ATCAAATGAAG GGTTATATGA
 12541 TTAGAAGACA TGAATCCTGT TTGCTTTGCG CATCAGGCTC TCATAACTAT GGTTGGTTT
 12601 TTATACCAAGC GAATTGCCAA TTGGATAGTA TTACAGAGGG AACATCTGCA CTGAGGGTGC
 12661 CATAACATAGG GTCCACAACA GAAGAAAGAA CAGACATGAA ACTAGCATTC GTCAAATCTC
 12721 CTAGTAGGTCTC TCTAAAATCA GCAGTGAGAA TAGCAACTGT GTACTCATGG GCCTATGGTG
 12781 ATGATGACGA ATCTTGGCAA GAGGCTTGGG CCTTGGCAAA ACAGAGAGCG GACATCTCAC
 12841 TTGAGGAATT ACGAATGATT ACCCCAATT CCACTCTAC TAATCTAGCT CACCGACTAA
 12901 GAGACAAGAG TACTCAAGTC AAATACTCG GGACCTCTCT CATCAGAGTA GCACGTTATG
 12961 CAACTATCTC GAATGATAAT CTTTCTTTA TTATAGATGA CAAGAAAGTG GACACAAATT
 13021 TTATTTATCA ACAAGGTATG CTCCCTGGCC TGAGCCTTA TGAGCACTTA TTTAGATTGT
 13081 CTTCAACAC CGGCAGCTCT AACACCGTGT TACATTACA TGTTGAAACA GATTGTTGCG
 13141 TAATACCCAT GAGTGACCAT CCAAGAGTCC CAGGGCTCAG AAAGGTGTC ATACCAAGAA
 13201 ATATTTGTAC AAATCCTTG ATTATGACA GTAAACCTAT TATTGAGAAA GATGCAGTCA
 13261 GACTTTATAA CCAGAGTCAC AGAAAGCACA TTGTAGAGTT TGTCACATGG ACAACAGGGC
 13321 AGCTTTATCA TGTGCTAGCT AAATCTACTG CTATGCTAT GGTTGAGATG ATTACAAAGT
 13381 TTGAAAAGGA CCACCTAAAT GAAGTCACTG CGTTAATTGG CGATGATGAT ATCAATAGTT
 13441 TTATCACTGA GTTCTTCTA GTTGAGCCTA GATTATTAC TGTATATCTA GGTCAATGTG
 13501 CTGCAATCAA CTGGGGCTTT GAAATTCTATT ATCACCGACC TTCTGGAAAG TACCAAATGG
 13561 GTGAGTTGTT GTTCTTTTC CTGAGTAGAA TGAGTAAAGG AGTCTCAAA ATTTAGCCA
 13621 ATGCATTGAG CCATCCTAAA GTATATAGAC GGTTTGGGA CAGTGGGATG ATTGAACCTG
 13681 TTCATGGACC CTCTCTTGAC TCCC AAAACC TACATATAAC TGTATGCAAC CTGATCTATA
 13741 ACTGTTACAT GATTACCTA GACCTTCTGT TAAATGATGA ATTAGATGAT TTCTCATTCA
 13801 TTTTATGCGA AAGTGACGAG GATGTCATAC CTGAAAGATT TGACAACATA CAAGCCAGGC
 13861 ACCTATGCAT CTTATCTGAC CTTTATTGTA ACCCTCGTGA TTGCCCCAG ATTCGTGGGT
 13921 TGACACCAAC ACAGAAATGT GCTGTGTTGT CGGGGTACTT AAAATCAAA GCCCTAGAAT
 13981 CCCATGTTGG TCTGACATGG AATGACAAAC CTATCTTAAT AGATCAATAT TCATGTTCCC
 14041 TGACATATCT TAGAAGAGGC TCAATCAAGC AGATAAGATT GAGAGTGGAT CCCGGATTCA
 14101 TCACTGATGC TGTGAGTGC TTAGAAAGGC GTCTCTAAG AAATAATTCT ACCTCTAAGG
 14161 CCTCAGAAATT AACGTCAGGA TTGACCCAC CGAAAGATGA CTTGGCTAAA CTTCTGAGTC
 14221 AGCTGTCAC AAGGACACAT AACTTACCTA TTACAGGATT AGGAGTCCGG AACTATGAGG
 14281 TTCAATTCTT CAGAAGAATT GGGATCAACT CTACTGATG TTACAAGGCA GTTGAATAG
 14341 CTTCCGTGAT TAAGAACGAA TTACGTCG AAGAACACGG ATTATTCTA GGAGAAGGTT
 14401 CAGGTGCAAT GTTGACAGTA TATAAAGAGC TATTAAGATT GTCAAGATGT TATTATAACA
 14461 GTGGTGTGTC GGTAGAAATCC AGAAACTGGAC AACGAGAGAT TTACACCTTAC CCTCTGAGG
 14521 TCAGTCTGGT GGAACATCAA TTAGGACTCG ATAATTGGT GACTGTGCTT TTCAATGGGA
 14581 GACCAGAACT AACTTGGGT GGGAGTGTG ATTGTTACAA GTACATACAG AGCCAGATCT
 14641 CTGCTAGCAG TCTTGGTTG ATTCACTCG ATATAGAGTC ACTACCGGAT AAAGACATAA
 14701 TTGAAAAGTT GGAAGAATTG TCTGCTATAT TATCAATGAC TTTGATATTA GGGAAAGGTAG
 14761 GGTCACTGTT AGTAATTAAG ATCATGCCAG TTAGTGGCGA CTGGGTTCAA GGATTTATT
 14821 TGTATGCACT CCCACATTTT CTTCGAAGTT TCATAGTTA CCCAAGATAC AGCAATTG
 14881 TGTCAACAGA GGCCTACCTT GTTTTACCG GTCTTAGAGC AGGGAGACTA ATCAATCTG
 14941 AGGGGATTAA ACAACAGATT TTGCGAGTCG GTATTGCAAC TTCAACCGGG TTGGTAGGGC
 15001 ACATCCTTC ATCAAAGCAG ACAGCATGTG TGCAGTCTT GCATGGACCT CCATTCATG
 15061 CTAATCTT CAATCCTCAC CTTCAAGGGTT TAACAAGTAT TGAGAAGGTA TTAATCAATT
 15121 GTGGGCTTAC AATTAAATGGT CTAAAGTAT GTAAGAACCT GCTTCACCAT GATATTCGT
 15181 CAGGCAGAGGA AGGGCTGAAA GGATCTATCA CGATCCTTA CGGGAACTC GCAAGGTTCA
 15241 AGGATAACCA CCAACTTCA CATGGAATGT TCCATGCATA CCCTGTGTTA ATCGCAAGTC
 15301 AGGAAAGGGG GCTCGTATCT ATCATTGCAA AGAAGTACTG TGGCTATATT TTGCTGTACT
 15361 CGGGCGACTT ATACGAAATT ACCAGGATTG TCCGAAACCT GAAAGCCAAC CACATAATT
 15421 TCGACCTGCA TCGTAATTAA TTCATGGATA ATCTGTCAGG ATCTGACAGG TCTCTCATCC
 15481 TAACGACAAT CCCAAAAAG AATTGGCTCT TTCAAGCTGA GACAAAAGAG ATAAAGGAGT
 15541 GGTTCAAATT ATTAGGTTAT AGTGCAGTGA TTAGAAATCA CTGA

Anexo 2: Secuencias de los triplicados de muestras de caninos A (DP1, DP2 y DP3), H (DP4, DP5 y DP6) y F (DP7, DP8 y DP9) obtenidas por el Centro de Secuenciación Genytec Ltda.

>DP1

```
CATCAACAAGAGGTCCGAAAACCAGGGAGGAGACAAATACCCCATTCACTTCAGGAACGAAAGGCTTCCAGG
GTATACCCCAGATTCAACAGTTCTGAATTGAGTGAGTCACTATATTACACCCAAATTATCCAAGGATTATTG
AAATTACGATTATCGGAAATCGATTGAGAAGAAATGCCAAGATTAGGATTCTACTAAGATTCAGTCAGTCACC
TGGGACCAAGTGAAGATAATTCTCCTGTTATAGTGTATAAGAGACTACTCAATTAAATATTCAAGACCAGTCT
TGCATCAGTCAACAATTATCATCTAAACTCATTATAAAAACCTAGGACCCAGGTCAAACAAACCCGATCA
ATCATTCATCCGACCACCCGTTCTATCCCTAAATTGCAGAGGAACAGGCATACCATTTCAGCAAAGGGCTGG
AATTCCCTCAAAGCCCT
```

>DP2

```
CATCAACAAGAGGTAGAAAACCAGGGAGGAGACAAATACCCCATTCACTTCAGGAACGAAAGGCTCAAGG
GTATACCCCAGATGTCAACAGTTCTGAATGGAGTGAGTCACTATATGACACCCAAATTATCAAAGATGATGG
AAATGACGATGATCGGAAATCGATGAGAAGAAATGCCAAGATGAGGATGCTTACTAAGATGCTCAGTCAGTCACC
TGGGACCAAGTGAAGATAATTCTCATGTTATAGTGTATAAGAGACTACTCAATTAAATATTCAAGACCAGTCT
TGCATCAGTCAACAATTATCATCTAAACTCATTATAAAAACCTAGGACCCAGGTCAAACAAACCCGATCA
ATCATTCATCAGACCACCCGTTCTACTAAATGGCAGAGGAACAGGCATACCATGTCAGCAAAGGGCTGG
AATGCCTCAAAGCCCTC
```

>DP3

```
ATCAACAAGAGGTCCGTAAACCAGGGAGGAGACTAATAACCCATTCACTTCAGGAACGTAAGGCTTCCAGGG
TATAACCCAGATGTCAACAGTTCTGAATGGAGTGAGTCACTATATGACACCCCTAATTATCCAAGATGATGGT
AAATGACGATGATCGTAATCGATGAGAAGAAATGCCAAGATGAGGATGCTTACTAAGATGCTCAGTCACCT
GGGACCAAGTGAAGATAATTCTCTGTTATAGTGTATAAGAGACTACTCAATTAAATATTCAAGACCAGTCTT
GCATCAGTCAACAATTATCATCTTAACTCATTATAAAACTTAGGACCCAGGTCAAACAAACCCGATCAA
TCATTCATCCGACCACCCGTTCTATCCCTAATGGCAGAGGAACAGGCATACCATGTCAGCTAAGGGCTGGA
ATGCCTCTAAAGCCCTCAG
```

>DP4

```
CATTGGTAAGAGGTCCGAAAACCAGGGAGGAGACAAATAACCCATTCACTTCAGAGACGAAAGGCTTCCAGG
GTATACCCCAGATGTTGGTAGTTCTGAATGGAGTGAGTCACACTATGACACCCAAATTATCCAAGATGATGG
AAATGACGATGATCGGAAATCGATGAGAACAAATGCCAAGATGAGGATGCTTACTAAGATGCTCAGTTGGTC
TGGGACCAAGTGAAGAAAATTCTCTGTTATAGTGTATAAGAGACTACTCAATTAAATATTCAAGACCAGTCT
TGAATCAGTGGTAATTATCATCTAAACTCATTATAAAAACCTAGGACCCAGGTCTGGTAAACCCGATCA
ATCATTCATCCGACCACCCGTTCTATCCCTAAATGGCAGAGGAACAGGAGTACCATGTCAGCAAAGGGCTGG
AATGCCTCAAAGCCCTCAG
```

>DP5

```
ACCATCAACAAGAGGTCCGAAAACCAGGGAGGAGACAAATAACCCATTCACTTCAGAGACGAAAGGCTTCCA
GGGTATACCCCTATATGTCAACAGTTCTGAATGGAGTGAGTCACACTATGACACCCAAATTATCCAAGATGAT
GGAAATGACGATGATCGGAAATCGATGAGAACAAATGCCAAGATGAGGATGCTTACTAAGATGCTCAGTCAA
CCTGGGACCAAGTGAAGAAAATTCTCTGTTATAGTGTATAAGAGACTACTCAATTAAATATTCAAGACCAGT
CTTGAATCAGTCAACAATTATCATCTAAACTCATTATAAAAACCTAGGACCCAGGTCAAACAAACCCGAT
CAATCATTCATCCGACCACCCGTTCTATCCCTAAATGGTATAGGAACAGGAGTACCATGTCAGCAAAGGGCT
GGAATGCCTCAAAGCCCTA
```

>DP6

```
AACCATCAACAAGAGGTCCGAAAACCAGGGAGGAGACAAATAACCCAAATACAATAGAGACGAAAGGCAATC
AGGGTATACCCAGATGTCAACAGAAATTGAATGGAGTGAGTCACACTATGACACCCAAATTATCCAAGATGA
TGGAAATGACGATGATCGGAAATCGATGAGAACAAATGCCAAGATGAGGATGCTTACTAAGATGCTCAGTC
ACCTGGGACCAAGTGAAGAAAAATTCTCTGTTATAGTGTATAAGAGACTACTCAATTAAATAAGACCAG
TCTTGAATCAGTCAACAATTATCAAATTAAACTCATTATAAAAACCTAGGACCCAGGTCAAACAAACCCGAT
TCAATCAAATATCGGACCACCCGAAATTATCCCTAAATGGCAGAGGAACAGGAGTACCATGTCAGCAAAGGGC
TGGAAATGCCTCAAAGCCCT
```

```

>DP7
CATCAACAAGAGGTCCGAAAACCAGGGAGGAGACAAATACCCCATTCACTTCAGAGACGAAAGGCTTCCAGG
GTATACCCAGATGTCAACAGTTCTGAATGGAGTGAGTCACACAATGACACCCAAATAATCCAAGATGATGG
AAATGACGATGATCGGAAATCGATGGAAACAATGCCAAGATGAGGATGCTTACTAAATGCTCAGTCACC
TGGGACCAAGTGAAGAAAATTCTCCTGTTATAGTGTATAAGAGCTACTCATTAAATATTCAAGACCAGTCT
TGAAACAGTCAACAATTTCATTCTAAACTCATTATAAAAAACTTAGGACCCAGGTCCAACAAACCCGATCA
ATCATTCATCCGACCACACGTTCTATCCCTAAATGGCAGAGGAACAGGACAACCATGTCAGCAAAGGGCTGG
AATGCCTAAAAGCTCTCAG

>DP8
CCATCAACAAGAGGTCCGAAAACCAGGGAGGAGACTAATAACCCATTCACTTCAGAGACGAAAGGCTTCCAA
GGTATACCCAGATGTCAACAGTTCTGAATGGAGTGAGTCACACAATGACACTCAAATTATCCAAGATGATA
GAAATGACGATGATCGGAAATCGATGGAAACAATGCCAAGATGAGGATGCTTACTAAGATACTCAGTCAC
CTGGGACCAAGTGAAGAAAATTCTCCTGTTATAGTGTATAATAGCTACTCAATTAAATATTCAAGACCAGTC
TTGAAACAGTCAAAATTATCATTCTAAACACATTATAAAAAACTTAGGACCCAGGTCCAACAAACCCGATC
AATCATTCATCCGACCACCCGTTCTATCCCTAAATGGCAGAGGAACAGGACAACCATGTCAGCAAAGGACTG
GAAAGCCTCAAAGCCCTCA

>DP9
CCATCAACAAGAGGACCGAAAACCAGGGAGGAGACAAATAACCCATTCACTTCAGAGACGAAAGGCTTCCAG
GGTATACCCAGATGTCAACAGTTCTGAATGGAGTGAGTCACACAATGACACCCAAATAATCCAAGATGATG
GAAATGACGATGATAGGAAATCGATGGAAACAATGCCAAGATGAGGATGCTTACTAATATTCTCAGTCAC
CTGGGACCAAGTGAAGAAAATTCTCCTGTTATAGTGTATAAGAGATACTCAATTAAATATTCAAGACCAGTC
TTGAAACAGTCAACAATTATCATTCTAAACTCATTATAAAAAACTTAGGACCCAGGTCCAACAAACCCGATC
AAACATTCATCCGACCACCCGTTCTATCCCTAAATGGCAGAGGAACAGGACAACCATGTCAGCAAAGGCTG
GAATACCTCAAAGCCCTC

```

Anexo 3: Diseño de partidores según OligoPerfect™ Designer de *Life Technologies*™

```

1301 TCAATGTRTRGRRAATTGGGAAATCCTCGCAGGRATTGATTTAATGCTTIRTGCCCTTIRGCCTRGRGATGRTTGRCCATGTRCTGARAGRTRAG
1401 GCTTTGGCAGCCCTTAAAGAGTGGGACTCTAGTGTACCCAAAAGAATTCTCAGGTRCATCCGCCCTCGCTCCACTGAGTCTCGGAGACTTGTATG
1501 TGTTTCAGGAGACTCTCAGTTGACCCCTTIRACATGATIRTGTRCGTIRTCAGGTCAATRCTIAGAAGATCCTGATITCAACCTIRCATCAGTCT
1601 CAAAGAGAAAGRGATTAAAGGGTRGGGAGATIRTTGCCTRAAAATGCCTCRAAAATGCGAGGCTGTCAGGTCAATGAGAAACTTGTATCTIRATGGA
1701 ATTGGGAAAGTCTTCAGGRCAATGGGTGGCRAAGGATGRCACGATCTCAGTAAATCATTGCAACTCTGGCTGTGTCGGGGTTCCGAAAGRCAGA
1801 AGAGATCCTCGTGCCCTCAGTACCGCTTCTCGAGGAAACCTCTGAGATCTTGAAACTGTRAGTGCATTIRTAACTRCRGATCTCAAAAGTAC
1901 AGACCCRAACCCAAATTTCACCGTRGAAGAGAAGRCATGACATAGAGATCTTGAAACTGTRAGTGCATTIRTAACTRCRGATCTCAAAAGTAC

```

Rank: 1 Product Length: 457 Product Region: 1404-1860				
Primer Name	%GC	Strand	Size (bases)	Tm (°C)
PGL 1 F	45.00	FWD	20	59.95
PGL 1 R	55.00	REV	20	59.98
5' Addition	Primer Sequence			
	T T G G C A G C C C T A A G A A A A G A			
	C T C G A T A A G G T G C A G G G C T T C			

Anexo 4:

a) Identidad nucleotídica según programa Blast: Canino A (94,8%)

	Description	Max score	Total score	Query cover	E value	Ident	Accession
■	Canine distemper virus, complete genome	800	800	100%	0.0	99%	AF014953.1
■	Canine distemper virus, isolate Onderstepoort complete genome	795	795	100%	0.0	98%	AF305419.1
■	Canine distemper virus strain Onderstepoort, complete genome	778	778	100%	0.0	98%	AF378705.1
■	Canine distemper virus strain Snyder Hill culture-collection ATCC:VR-1587, complete genome	761	761	100%	0.0	97%	JN896987.1
■	Canine distemper virus strain recombinant Snyder Hill, complete genome	761	761	100%	0.0	97%	GU138403.1
■	Canine distemper virus strain Shuskiy, complete genome	695	695	100%	0.0	94%	HM063009.1
■	Canine distemper virus strain Phoca/Caspian/2007, complete genome	695	695	100%	0.0	94%	HM046486.1
■	Canine distemper virus strain CDV3, complete genome	689	689	100%	0.0	94%	EU726268.1
■	Canine distemper virus isolate 98-2646, complete genome	673	673	100%	0.0	94%	AY542312.2
■	Canine distemper virus isolate 98-2654, complete genome	673	673	100%	0.0	94%	AY466011.2
■	Canine distemper virus isolate 98-2645, complete genome	673	673	100%	0.0	94%	AY445077.2
■	Canine distemper virus strain A75/17, complete genome	656	656	100%	0.0	93%	AF164967.1
■	Canine distemper virus isolate 164071, complete genome	651	651	100%	0.0	93%	EU716337.1
■	Canine distemper virus isolate 01-2689, complete genome	640	640	100%	8e-180	92%	AY649446.1
■	Canine distemper virus isolate 00-2601, complete genome	634	634	100%	4e-178	92%	AY443350.1

b) Ejemplo de alineamiento con secuencia AY445077.21

Canine distemper virus isolate 98-2645, complete genome Sequence ID: gb AY445077.2 Length: 15690 Number of Matches: 1					
Range 1: 1409 to 1859		GenBank	Graphics	▼ Next Match	▲ Previous Match
Score	Expect	Identities	Gaps	Strand	
673 bits(364)	0.0	422/451(94%)	0/451(0%)	Plus/Plus	
Query 1	CATCAACAAGAGGTCCGAAACACCAGGGAGGAGAACAAATACCCCATTCACTTCAGGAACCGA	60			
Sbjct 1409	CATCAACAAGAGGTCCGAAACCCAGGGAGGAGAACAAATACCCCATTCACTTCAGGTGATGA	1468			
Query 61	AAGGCTTCCAGGTATAACCCAGATGTCAACAGTCTGAATGGAGTGAGTCACTATATGA	120			
Sbjct 1469	ACGTTTCCGGGTATAACCCAGATGTCAACGGCTCCGAATGGACTGAATCACCTATGA	1528			
Query 121	CACCCAATTATCCAAGATGATGGAATGACGATGATCGGAATCGATGGAAGAAATCCG	180			
Sbjct 1529	TACCCAAACTATTCAAGATGATGGAACAGCAGTGAACCGGAAATCGATGGAAGCAATCGC	1588			
Query 181	CAAGATGAGGATGCTTAACAGATGCTCAGTCAACCTGGGCCAGTGAAAGATAATTCTCC	240			
Sbjct 1589	CAAGATGAGAACTCTTAACAGATGCTCAGTCAACCTGGGCCAGTGAAAGATAATTCTCC	1648			
Query 241	TGTTTATAGTGATAAAGAGCTACTCAATTAAATATTCAAGACAGCTTGCATCAGTC	300			
Sbjct 1649	TGTTTATAATGATAGAGGACTACTCAATTAAATATTCAAGACAGCTTGCATCAGTC	1708			
Query 301	CAATTATCATTCAAACCTATTAAAAACTTAGGACCCAGGTCCAACAAACCCGATCA	360			
Sbjct 1709	CAATTATCATTCAAACCTATTAAAAACTTAGGACCCAGGTCCAACAAACCCGATCA	1768			
Query 361	ATCATTCATCCGACCACCCGTTCTATCCCTAAATGGCAGAGGAACAGGCATACCATGTC	420			
Sbjct 1769	ACCATTATCATTCAAACCTATTAAAAACTTAGGACCCAGGTCCAACAAACCCGATCA	1828			
Query 421	GCAAAGGGCTGGAATGCTCAAAGCCCTCAG	451			
Sbjct 1829	GCAAAGGGCTGGAATGCTCAAAGCCCTCAG	1859			

Anexo 5:

a) Identidad nucleotídica según programa Blast: Canino F (94,45%)

	Description	Max score	Total score	Query cover	E value	Ident	Accession
<input checked="" type="checkbox"/>	Canine distemper virus, complete genome	798	798	100%	0.0	98%	AF014953.1
<input checked="" type="checkbox"/>	Canine distemper virus, isolate Onderstepoort complete genome	793	793	100%	0.0	98%	AF305419.1
<input checked="" type="checkbox"/>	Canine distemper virus strain Onderstepoort, complete genome	776	776	100%	0.0	98%	AF378705.1
<input checked="" type="checkbox"/>	Canine distemper virus strain Snyder Hill culture-collection ATCC:VR-1587, complete genome	758	758	99%	0.0	97%	JN896987.1
<input checked="" type="checkbox"/>	Canine distemper virus strain recombinant Snyder Hill, complete genome	758	758	99%	0.0	97%	GU138403.1
<input checked="" type="checkbox"/>	Canine distemper virus strain Shuskiy, complete genome	691	691	99%	0.0	94%	HM063009.1
<input checked="" type="checkbox"/>	Canine distemper virus strain Phoca/Caspian/2007, complete genome	691	691	99%	0.0	94%	HM046486.1
<input checked="" type="checkbox"/>	Canine distemper virus strain CDV3, complete genome	686	686	99%	0.0	94%	EU726268.1
<input checked="" type="checkbox"/>	Canine distemper virus isolate 98-2646, complete genome	667	667	99%	0.0	93%	AY542312.2
<input checked="" type="checkbox"/>	Canine distemper virus isolate 98-2654, complete genome	667	667	99%	0.0	93%	AY466011.2
<input checked="" type="checkbox"/>	Canine distemper virus isolate 98-2645, complete genome	667	667	99%	0.0	93%	AY445077.2
<input checked="" type="checkbox"/>	Canine distemper virus strain A75/17, complete genome	660	660	100%	0.0	93%	AF164967.1
<input checked="" type="checkbox"/>	Canine distemper virus isolate 164071, complete genome	654	654	100%	0.0	93%	EU716337.1
<input checked="" type="checkbox"/>	Canine distemper virus isolate 01-2689, complete genome	643	643	100%	0.0	92%	AY649446.1
<input checked="" type="checkbox"/>	Canine distemper virus isolate 00-2601, complete genome	634	634	99%	4e-178	92%	AY443350.1

b) Ejemplo de alineamiento con secuencia AY466011.21

Canine distemper virus isolate 98-2654, complete genome					
Sequence ID: gb AY466011.2 Length: 15690 Number of Matches: 1					
Range 1: 1408 to 1858		GenBank	Graphics	▼ Next Match ▲ Previous Match	
Score 667 bits(361)	Expect 0.0	Identities 421/451(93%)	Gaps 0/451(0%)	Strand Plus/Plus	
Query 3	CCATCAACAAGAGGTCCGAAACACAGGGAGGAGACAAAATACCCCATTCACCTTGAGAGACG			62	
Sbjct 1408	CCATCAACAAGAGGTCCGAGAACCAAGGAGAGACAAAATACCCCATTCACCTTGAGTGATG			1467	
Query 63	AAAGGCCTTCAGGGTATAACCCAGATGTCAACAGTTGAAATGGAGTGACTCACACTATG			122	
Sbjct 1468	AACCGTTCCGGGTATACCCCAAGATGTCACCGGCTTCAACGGCTTCAACCGGTATG			1527	
Query 123	ACACCCAAAATTATCCAAGAGTATGGAAATGACGATGATGCCAATGGAAACAAATCG			182	
Sbjct 1528	ATACCCAAAATTATCCAAGAGTATGGAAACGACGATGACCGGAAATCGATGAAAGCAATCG			1587	
Query 183	CCAAGATGAGGATGCTTAACAGATGCTCAGTCACCTGGGACCAAGTGAAGAAAATTCTC			242	
Sbjct 1588	CCAAGATGAGAATGCTTAACAGATGCTCAGTCACCTGGGACCAAGTGAAGAATAGTTCTC			1647	
Query 243	CTGTTTATAGTGTATAAGAGCTACTCAATTAAATTATTCAGACCAAGTCTGAAATCAGTC			302	
Sbjct 1648	CTGTTTATATAGTGTAGAGAGCTACTCAATTAAATTATTCAGACCAAGTCTGATCAGTC			1707	
Query 303	ACAATTATCATTCTAAACTCATTATAAAAAACTTAGGCCAGGTCAAACAAACCGATC			362	
Sbjct 1708	ACAATTATCATTCTAAACTCATTATAAAAAACTTAGGCCAGGTCAAACAAACCGATC			1767	
Query 363	AATCATTCATCCGACCACCGTTCTATCCCTAAATGGCAGAGGAACAGGAGTACCATGTC			422	
Sbjct 1768	AACCATTCATCCGACCACCGTTCTATCCCTAAATGGCAGAGGAACAGGAGTACCATGTC			1827	
Query 423	AGCAAAGGGCTGGAATGCTCAAAGGCCCTCA 453				
Sbjct 1828	AGCAAAGGGCTGGAATGCTCAAAGGCCCTCA 1858				

Anexo 6:

a) Identidad nucleotídica según programa Blast: Canino H (93,8%)

	Description	Max score	Total score	Query cover	E value	Ident	Accession
<input type="checkbox"/>	Canine distemper virus, complete genome	774	774	100%	0.0	98%	AF014953.1
<input type="checkbox"/>	Canine distemper virus, isolate Onderstepoort complete genome	769	769	100%	0.0	97%	AF305419.1
<input type="checkbox"/>	Canine distemper virus strain Onderstepoort, complete genome	752	752	100%	0.0	97%	AF378705.1
<input type="checkbox"/>	Canine distemper virus strain Snyder Hill culture-collection ATCC VR-1587, complete genome	736	736	100%	0.0	96%	JN896987.1
<input type="checkbox"/>	Canine distemper virus strain recombinant Snyder Hill, complete genome	736	736	100%	0.0	96%	GU138403.1
<input type="checkbox"/>	Canine distemper virus strain Shuskiy, complete genome	675	675	100%	0.0	94%	HM063009.1
<input type="checkbox"/>	Canine distemper virus strain Phoca/Caspian/2007, complete genome	675	675	100%	0.0	94%	HM046486.1
<input type="checkbox"/>	Canine distemper virus strain CDV3, complete genome	669	669	100%	0.0	93%	EU726268.1
<input type="checkbox"/>	Canine distemper virus isolate 98-2646, complete genome	647	647	100%	0.0	92%	AY542312.2
<input type="checkbox"/>	Canine distemper virus isolate 98-2654, complete genome	647	647	100%	0.0	92%	AY466011.2
<input type="checkbox"/>	Canine distemper virus isolate 98-2645, complete genome	647	647	100%	0.0	92%	AY445077.2
<input type="checkbox"/>	Canine distemper virus strain A75/17, complete genome	636	636	100%	1e-178	92%	AF164967.1
<input type="checkbox"/>	Canine distemper virus isolate 164071, complete genome	630	630	100%	5e-177	92%	EU716337.1
<input type="checkbox"/>	Canine distemper virus isolate 01-2689, complete genome	619	619	100%	1e-173	91%	AY649446.1
<input type="checkbox"/>	Canine distemper virus isolate 00-2601, complete genome	614	614	100%	5e-172	91%	AY443350.1

b) Ejemplo de alineamiento con secuencia AY542312.21

Canine distemper virus isolate 98-2646, complete genome				
Sequence ID: gb AY542312.2 Length: 15690 Number of Matches: 1				
Range 1: 1408 to 1859		GenBank	Graphics	
Score 647 bits(350)	Expect 0.0	Identities 418/452(92%)	Gaps 0/452(0%)	Strand Plus/Plus
Query 1	CCATCAACAAAGAGGTCCGAAAAACCAAGGGAGGAGACAATAACCCCATTCACTTCAGAGACG	60		
Sbjct 1408	CAACAAAGAGGTCCGAGAACCAAGGGAGGAGACAATAACCCCATTCACTTCAGTGTATG	1467		
Query 61	AAAGGCTTTCCAGGTATACCCCAGATGTCACACTTCTGAATGACTGAGTCACACAATG	120		
Sbjct 1468	AAACGGTTTCCGGGTATACCCCAGATGTCACCGCTCCGAATCGACTGAATCACGGCTATG	1527		
Query 121	ACACCCAAATTATCCAAGATGATGAAATGACGATGATCGGAAATCGATGAAACAAATCG	180		
Sbjct 1528	ATACCCAAACTATTCAGATGATGAAACGACGATGACCGGAAATCGATGAAAGCAATCG	1587		
Query 181	CCAAGATGAGGATGCTTACTAATATTCTCAGTCACACTGGGACCAGTCAAGAAAATTCTC	240		
Sbjct 1588	CCAAGATGAGAACTGCTTACTAAGATGCTCAGTCACACTGGGACCAGTCAAGATAGTTCTC	1647		
Query 241	CTGTTTATAGTCATAAAAGACCTACTCAATTAAATATTCAGACCACTTGAACAGTC	300		
Sbjct 1648	CTGTTTATATAATGATAGAGACCTACTCAATTAAATATTCAGACCACTTGCATCAGTC	1707		
Query 301	ACAATTATCATTCATAAAACTCATTATAAAAAACTTAGGCCAGGTCAACAAACCCGATC	360		
Sbjct 1708	ACAATTATCATTCATAAAACTCATTATAAAAAACTTAGGCCAGGTCAACAAACCCGATC	1767		
Query 361	AATCATTTCATCCGACCAACCGGTCTTACCTCTAAATGCCAGGGAAACAGGACAACCCATGTC	420		
Sbjct 1768	AAACATTTCATCCGACCAACCGGTCTTACCTCTAAATGCCAGGGAGCAGGCCCTACCATGTC	1827		
Query 421	AGCAAAGGGCTGGAATGCCCTAAAGCCCTCAG	452		
Sbjct 1828	AGCAAAGGGCTGGAATGCCCTAAAGCCCTCAG	1859		